

# Método de Monte Carlo para o estudo de transições de fase e fenômenos críticos

February 21, 2018

- A enumeração exata das configurações é possível apenas para sistemas pequenos;
- Amostragem por importância  $\rightarrow$  configurações com maior o peso  $P_{eq}(\sigma) = \frac{e^{-\beta\mathcal{H}(\sigma)}}{\sum_{\sigma} e^{-\beta\mathcal{H}(\sigma)}}$  são mais frequentemente escolhidas  $\rightarrow P_{eq}(\sigma)$  varia com a temperatura;
- Nesta aula aplicaremos o método de Monte Carlo no modelo mais simples exibindo transição de fase com quebra espontânea de simetria: modelo de Ising.

# Transição de fase: Uma visão geral

- Um sistema homogêneo, isto é, totalmente uniforme quanto as suas propriedades específicas constitui uma fase termodinâmica;
- Transições de fase descontínuas (primeira-ordem) e contínua (segunda-ordem)  $\rightarrow$  descontinuidades e divergências na primeira e segunda derivada da função energia livre, respectivamente;
- Uma maneira alternativa para caracterizarmos uma transição de fase é expressá-la em termos de uma quantidade denominada parâmetro de ordem  $\psi \rightarrow$  numa fase  $\psi \neq 0$  e na outra fase  $\psi = 0$ ;
- Nas vizinhanças do ponto crítico, o parâmetro de ordem, suscetibilidade, calor específico apresentam o comportamento dado por  $\psi \sim (-t)^\beta$ ,  $\chi \sim (\pm t)^{-\gamma}$  e  $C \sim (\pm t)^{-\alpha}$ , onde  $t = \frac{T-T_c}{T_c}$  e  $\beta, \gamma$  e  $\alpha$  são expoentes críticos associados;

- Verifica-se que diferentes sistemas apresentam o mesmo conjunto de expoentes críticos  $\rightarrow$  classes de universalidade;
- Expoentes críticos dependem  $\rightarrow$  ingredientes mais genéricos ao invés dos “detalhes” sobre os sistemas  $\rightarrow$  dimensionalidade do sistema, simetria do parâmetro de ordem, alcance das interações e outros;

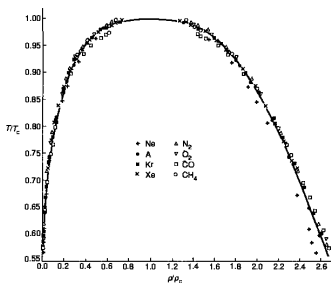


Fig. 2.2. The coexistence curve of eight different fluids plotted in reduced variables. The fit assumes an exponent  $\beta = 1/3$ . After Guggenheim, E. A. (1945). *Journal of Chemical Physics*, 13, 253.

# Modelo de Ising

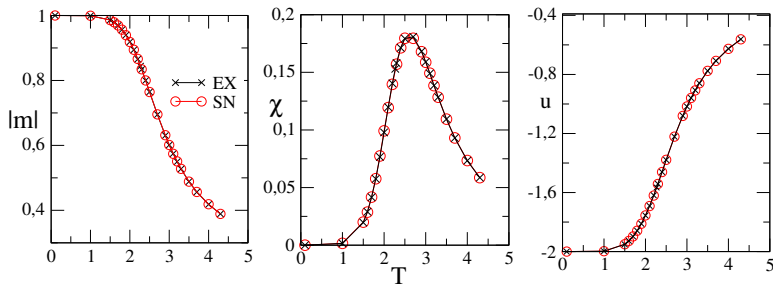
- Modelo de Ising  $\rightarrow$  generalização do modelo para o cristal paramagnético  $\rightarrow \mathcal{H} = -J \sum_{(i,j)} \sigma_i \sigma_j - H \sum_i \sigma_i \rightarrow$  para  $J = 0$  recupera-se o resultado do paramagneto ideal  $m = \tanh(\beta H)$ , onde  $\beta = \frac{1}{k_B T}$ .
- Transição de fase ferromagnética-paramagnética governada pela temperatura para dimensões superiores à  $d \geq 2 \rightarrow$  solução exata para  $d = 2$  (Onsager);
- Solução exata constitui uma exceção  $\rightarrow$  importância das simulações numéricas;
- Diferentes dinâmicas nos levam à distribuição de Gibbs  $\rightarrow$  satisfaz o balanço detalhado  $\rightarrow$  algoritmo de Metropolis.

# Algoritmo de Metropolis

- Sorteia-se aleatoriamente um sítio;
- Inverte-se o sinal do spin do sítio escolhido;
- $p_{\sigma \rightarrow \sigma'} = \min\{1, e^{-\beta \Delta \mathcal{H}(\sigma)}\}$  onde (modelo de Ising)  
 $\Delta \mathcal{H}(\sigma) = \mathcal{H}(\sigma') - \mathcal{H}(\sigma) = 2\sigma_i (J \sum_{\delta} \sigma_{i+\delta} + H)$ ;
- Se  $\Delta \mathcal{H} \leq 0$  a nova configuração será  $\sigma'$  com probabilidade 1;
- Se  $\Delta \mathcal{H} > 0$  a nova configuração será  $\sigma'$  com probabilidade  $e^{-\beta \Delta \mathcal{H}}$ . Isso é feito gerando um número aleatório  $r$  entre 0 e 1. Se  $r < e^{-\beta \Delta \mathcal{H}}$  aceitamos o novo valor do spin, caso contrário a nova configuração de spins é rejeitada;
- Repetimos o processo a partir da primeira etapa.

- Atividade I: Utilizando o código fortran ising-teste.f, simule o modelo de Ising para redes de tamanho  $L = 4$  sem alterar qualquer parâmetro, a partir da temperatura inicial 1.0 até 4.0 em incrementos de  $\Delta T = 0.1$ . Para compilar o programa digite `gfortran isingt-teste.f`. Em seguida, para rodar use o comando `./a.out`
- Compare com o cálculo exato (disponível no arquivo `ativ1-enumeracao-L4.dat`). Escolha uma das grandezas: magnetização por spin, suscetibilidade ou energia média. Para fazer o gráfico no `xmgrace` use o comando `xmgrace -block ativ1-enumeracao-L4.dat -bxy 1:COLUNA -block isingL4.dat -bxy 1:COLUNA`
- Grandezas relevantes  $\langle |m| \rangle = \frac{1}{N} \langle | \sum_{i=1}^N \sigma_i | \rangle$ ,  
 $\chi = \frac{N}{T} [\langle m^2 \rangle - \langle |m| \rangle^2]$  e  $u = \frac{1}{N} \langle \mathcal{H} \rangle$ ;
- Para magnetização use (1:2), suscetibilidade use (1:3) e energia média use (1:4);

# Comparação com resultado exato para $L = 4$

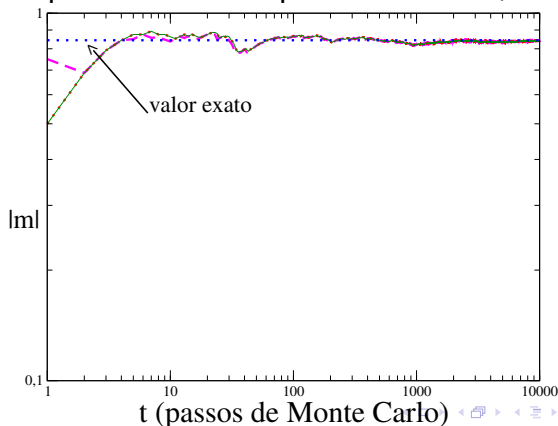


- **Desafio 0 (para classe):** Por que estamos calculando o módulo da magnetização ao invés da magnetização?



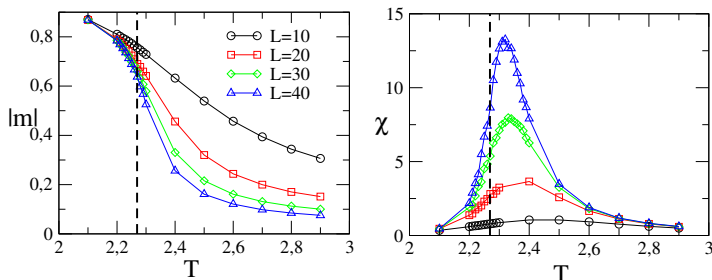
# Alguns pontos importantes

- É necessário “descartar” as configurações iniciais → não são (em geral) configurações importantes (típicas) da temperatura em análise;
- Comparação para rede  $L = 4$  para  $T = 2.269$ ;



- Atividade II: Repita a simulação anterior, mas para uma rede de tamanho  $L = 10$ , também da temperatura inicial 2.0 até 3.0 com incrementos na temperatura de 0.02. Resultados para  $L = 20$  e  $L = 30$  encontram-se nos arquivos `isingL20.dat` e `isingL30.dat`, respectivamente.
- Faça o gráfico da magnetização e suscetibilidade versus temperatura para  $L = 10, 20$  e  $30$ . Lembrando: `xmgrace -block isingL10.dat -bxy 1:COLUNA -block isingL20.dat -bxy 1:COLUNA -block isingL30.dat -bxy 1:COLUNA`, onde deve-se usar 1:2 (1:3) para magnetização (suscetibilidade) versus temperatura.

- Resultados para diferentes tamanhos de sistema;



- À medida que  $L$  aumenta  $\rightarrow$  o máximo de  $\chi$  aumenta e sua posição se desloca para esquerda  $\rightarrow$  evidência de uma transição de fase;
- Entretanto seu máximo é diferente do ponto crítico  
$$T_c \equiv \frac{k_B T_c}{J} = \frac{2}{\ln(1+\sqrt{2})} = 2.269\dots (\text{Onsager});$$
- Como estimarmos o ponto crítico e expoentes críticos?

# Teoria de escala finita

- Uma vez que é possível simularmos apenas sistemas finitos, a teoria de escala finita nos permite localizar o ponto crítico e os expoentes críticos estudando sistemas finitos;
- Comprimento de correlação [ $\xi \sim |t|^{-\nu}$ , sendo  $|t| \equiv \frac{T-T_c}{T_c}$ ] é limitado pelo tamanho  $L$  finito do sistema  $\rightarrow$  correções de escala nas grandezas como magnetização, suscetibilidade e outras;
- Quando  $L/\xi \gg 1$  os efeitos de tamanho finito não serão importantes. Por outro lado,  $L/\xi \ll 1$  comportamento em torno do ponto crítico é afetado pelo tamanho finito;
- Ponto de partida  $\rightarrow$  supor que  $\xi$  “escala” com  $L$  de forma que podemos trabalhar com a razão  $L/\xi \propto L|t|^\nu$  ou ainda  $L^{1/\nu}|t|$ ;

- Nas proximidades do ponto crítico supomos que  $M_L = \xi^{-\beta/\nu} f(L/\xi)$ ,  $\chi = \xi^{\gamma/\nu} g(L/\xi)$ , sendo  $f(x)$  e  $g(x)$  funções de escala a serem determinadas. Tendo em vista os limites para  $L/\xi \gg 1$  e  $\ll 1$ , definimos as funções  $f$  e  $g$  de forma que  $M_L = L^{-\beta/\nu} \tilde{f}(L^{1/\nu}|t|)$  e  $\chi = L^{\gamma/\nu} \tilde{g}(L^{1/\nu}|t|)$ , onde  $\tilde{f}$  e  $\tilde{g}$  estão relacionadas com  $f$  e  $g$ ,
- No ponto crítico ( $T = T_c$  ou  $|t| = 0$ ) obtemos  $M_L = L^{-\beta/\nu} \tilde{f}(0)$  e  $\chi = L^{\gamma/\nu} \tilde{g}(0)$ , de forma que um gráfico di-log de  $M_L$  e  $\chi$  versus  $L$  nos fornece os expoentes críticos  $\beta/\nu$  e  $\gamma/\nu$ , respectivamente.
- Mas como encontrar o ponto crítico  $T = T_c$ ?

- A partir do resultado acima, podemos esperar que  $M_L^2 = L^{-2\beta/\nu} \tilde{H}(L^{1/\nu}|t|)$  e  $M_L^4 = L^{-4\beta/\nu} \tilde{U}(L^{1/\nu}|t|)$ , sendo  $\tilde{H}(x)$  e  $\tilde{U}(x)$  funções ;
- É conveniente definirmos a quantidade  $U_L = 1 - \frac{\langle M_L^4 \rangle}{3\langle M_L^2 \rangle^2}$ , uma vez que na criticalidade ela é dada por  $U_0 = 1 - \frac{\tilde{U}(0)}{3\tilde{H}(0)}$ , que é independente do tamanho do sistema. Para o modelo de Ising  $U_0 \sim 0.61$ ;
- Para  $T < T_c$  e  $L \gg \xi$  temos que  $U_L = 2/3$  quando  $L \rightarrow \infty$ . Quando  $T > T_c$  e  $L \gg \xi$ , temos  $U_L \rightarrow 0$  quando  $L \rightarrow \infty$ . Isso pode ser entendido tendo em vista que na fase desordenada a distribuição de probabilidades  $P_L(M)$  associada a  $M$  é uma gaussiana de largura  $\sigma$  e centrada em  $M = 0$ . Neste caso temos que  $\langle M_L^2 \rangle = \sigma$  e  $\langle M_L^4 \rangle = 3\sigma^2$  e portanto  $U_L \rightarrow 0$ .
- Para  $L \ll \xi$ , o cumulante  $U_L$  é uma função que varia “suavemente” com a temperatura.

## Dedução alternativa

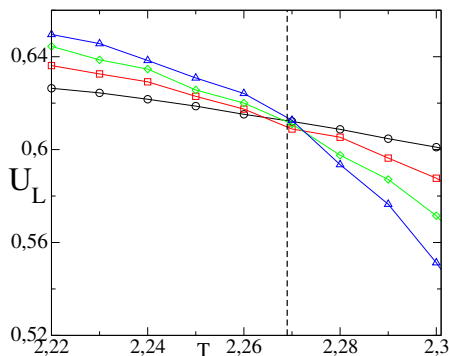
- Vimos que ambos  $\xi$  e  $M_L$  escalam com  $L$  e  $\xi^{\beta/\nu}$ , respectivamente. Uma vez que  $P(M_L)$  deve depender de  $L$ ,  $M$  e  $T$  (por meio da dependência com  $\xi$ ), assumimos a relação  $P(M_L) = \xi^{\beta/\nu} \tilde{P}(L/\xi, M\xi^{\beta/\nu})$  ou ainda a expressão  $P(M_L) = L^{\beta/\nu} \tilde{P}(L/\xi, ML^{\beta/\nu})$ ;
- A partir da expressão acima, se calcularmos o valor médio  $M_L = \int |M| P(M_L) dM$  chegaremos na expressão  $M_L = L^{-\beta/\nu} \tilde{f}(L^{1/\nu}|t|)$ , onde  $\tilde{f}(L^{1/\nu}|t|) = \int |x| f(L/\xi, x) dx$ ;
- Dessa forma, para qualquer potência de  $M_L$  obtemos  $M_L^n = L^{-n\beta/\nu} \tilde{f}_n(L^{1/\nu}|t|)$  (onde  $\tilde{f}_n(L^{1/\nu}|t|)$  é diferente em cada caso), de onde reobtemos os resultados anteriores.

- Atividade III: Faça o gráfico de  $U_L$  (5a coluna do arquivo de dados) versus a temperatura para  $L = 10$ ,  $L = 20$  e  $L = 30$  (arquivos isingL20.dat e isingL30.dat). Faça uma estimativa de  $T_c$  e compare com o resultado exato.



# Estimativa de $T_c$

- Do cruzamento entre as diferentes curvas, obtemos  $T_c = 2.27(1)$ , em proximidade com o valor exato  $T_c = 2.269\dots$ ;

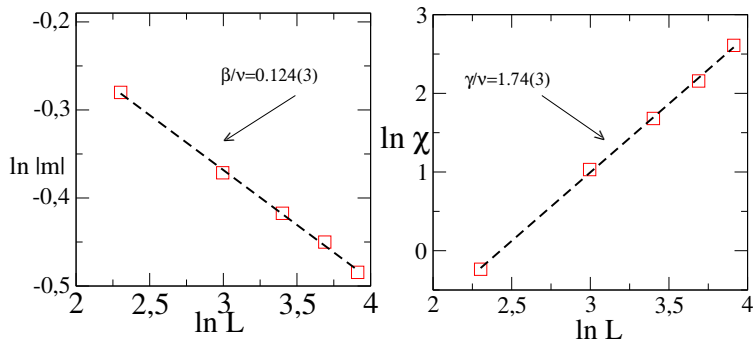


- Desafio II (para casa): Encontre o ponto crítico para o modelo de Ising na rede triangular. Este valor é igual ao da rede quadrada?

- Atividade IV: Usando o xmgrace e o arquivo Tc.dat, faça gráficos de  $M_L$  versus  $L$  (1:2) e  $\chi_L$  versus  $L$  (1:3) em  $T = T_c$ ;
- Lembrando que  $M_L \sim L^{-\beta/\nu}$  e se tomarmos o logaritmo  $\ln M_L = \ln A - \beta/\nu \ln L$ , o expoente  $\beta/\nu$  é obtido a partir do coeficiente angular;
- Idem para  $\ln \chi_L \rightarrow \ln \chi_L = \ln B + \gamma/\nu \ln L$ ;

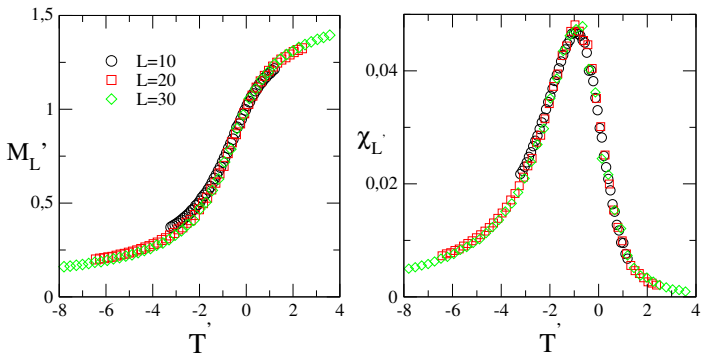
# Estimativa dos expoentes críticos

- Obtemos os expoentes  $\beta/\nu = 0.124(3)$  e  $\gamma/\nu = 1.74(3)$ , em concordância com os valores exatos  $\nu = 1$ ,  $\beta = 1/8$  e  $\gamma = 7/4$ .



- O procedimento acima pode ser generalizado para outros sistemas apresentando transições de fases e que não apresentam resultados exatos.

- Desafio III (para casa): Obtenha os expoentes críticos para o modelo de Ising na rede triangular. Os expoentes críticos são os mesmos da rede quadrada?
- Considere novamente as relações de escala:  
 $M_L = L^{-\beta/\nu} \tilde{f}(L^{1/\nu}|t|)$  e  $\chi = L^{\gamma/\nu} \tilde{g}(L^{1/\nu}|t|)$ . Uma forma de estudarmos o alcance da validade das relações acima consiste em efetuarmos as transformações:  $M'_L = M_L L^{\beta/\nu}$ ,  $\chi'_L = \chi L^{-\gamma/\nu}$ ,  $T' = (T - T_c)L^{1/\nu}$ .
- Atividade V: De posse dos resultados para  $L = 10, 20$  e  $30$  execute o código `escalafinita.f` para obter os dados para  $T'$ ,  $M'_L$  e  $\chi'_L$  (1a, 2a e 3a colunas dos arquivos `esctfL10.dat`, `esctfL20.dat` e `esctfL30.dat`, respectivamente). Faça o gráfico das saídas de dados e discuta suas expectativas.



- Colapso de dados é uma análise importante para verificarmos não apenas a validade das relações de escala (e classe de universalidade), como também uma forma de estimarmos o ponto crítico com relativa precisão quando se conhece a classe de universalidade à qual pertence o modelo em estudo.

- Desafio IV (para casa): Faça o gráfico de  $M'_L$  versus  $T'$  e  $\chi'_L$  versus  $T'$  para o modelo de Ising na rede triangular.
- Desafio V (para casa): Simule agora o modelo de Ising com campo magnético mantendo a temperatura fixa. Como ficam os resultados se  $T < T_c$  e  $T > T_c$ ? É necessário considerarmos o módulo da magnetização neste caso?

- D. P. Landau e K. Binder, *A Guide to Monte Carlo Simulations in Statistical Physics*.
- K. Binder, *Computational Methods in Field Theory*.
- S. Salinas *Introdução à Física Estatística*.